

Р. М. КИРАКОСЯН

О ВЕРХНИХ ОЦЕНКАХ ПРОГИБОВ И НАПРЯЖЕНИЙ УПРУГО-ПЛАСТИЧЕСКИХ КОНСТРУКЦИЙ

Предлагается способ определения верхних оценок для максимальных прогибов и напряжений упруго-пластических конструкций, основанный на использовании упругих решений соответствующих краевых задач. Способ иллюстрируется на примере гибкой пластинки при линейном упрочнении материала.

Переходя к обобщенным величинам, что позволяет освободиться от влияния неоднородности напряженно-деформированного состояния по толщине, получены более точные верхние оценки при поперечном изгибе. На основе этих оценок получается единая нижняя оценка для несущей способности произвольных идеально-пластических пластин.

Приводятся примеры сравнения с точными решениями.

1. Рассмотрим некоторую конструкцию из линейно упрочняющегося материала. Связь между интенсивностями касательных напряжений σ_i и деформаций сдвигов ε_i примем в виде [1]

$$\sigma_i = E\varepsilon_i[1 - \omega(\varepsilon_i)], \quad 0 < \omega < 1 \quad (1.1)$$

где

$$\omega = \begin{cases} 0, & \varepsilon_i \leq \varepsilon_s \\ \lambda \left(1 - \frac{\varepsilon_s}{\varepsilon_i}\right), & \varepsilon_i \geq \varepsilon_s \end{cases} \quad (1.2)$$

$$\lambda = 1 - \frac{1}{E} \frac{d\sigma_i}{d\varepsilon_i} = \text{const}$$

E — модуль Юнга, ε_s — предел упругих деформаций, $0 \leq \lambda \leq 1$ — коэффициент упрочнения материала.

Известно [1], что упруго-пластически деформированное тело можно рассматривать как некоторое приведенное упругое тело с неоднородным модулем упругости E_{np} . В случае линейного упрочнения и отсутствия разгрузки

$$E_{np} = \begin{cases} E, & \varepsilon_i \leq \varepsilon_s \\ E \left(1 - \lambda + \frac{\lambda \varepsilon_s}{\varepsilon_i}\right), & \varepsilon_i \geq \varepsilon_s \end{cases} \quad (1.3)$$

За пределами упругости с возрастанием интенсивности деформаций ε_i модуль приведенного материала E_{np} монотонно убывает. Следовательно, наименьшее значение E_{np}^{min} получится в той точке конструкции, где ε_i принимает наибольшее значение, то есть

$$E_{np}^{min} = E \left(1 - \lambda + \frac{\lambda \varepsilon_s}{\varepsilon_i^{max}} \right) \quad (1.4)$$

Так как

$$E_{np}^{min} > E(1 - \lambda) \quad (1.5)$$

то, полагая

$$E_{np}(0) \equiv E(1 - \lambda) \quad (1.6)$$

и решая задачу упругого деформирования рассмотренной конструкции при заданных нагрузках и граничных условиях, получим завышенные значения для деформаций. Максимальное значение интенсивности деформаций обозначим через $\varepsilon_i^{max}(0)$. Соответствующее значение интенсивности напряжений, подсчитанное по действительной зависимости

$$\sigma_i^{max}(0) = \varepsilon_i^{max}(0) \left[1 - \lambda + \frac{\lambda \varepsilon_s}{\varepsilon_i^{max}(0)} \right] \quad (1.7)$$

будет превышать действительное максимальное значение. Таким образом, получены верхние оценки для интенсивностей деформаций и напряжений и нижняя оценка для приведенного модуля

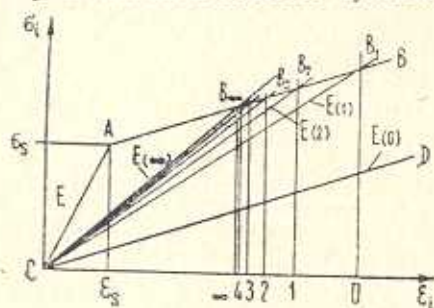
$$\sigma_i^{max}(0) > \sigma_i, \quad \varepsilon_i^{max}(0) > \varepsilon_i, \quad E_{np}^{min}(0) < E_{np} \quad (1.8)$$

Эти оценки очень грубы и не могут представлять практического интереса. Принимая их в качестве нулевого приближения, последующие приближения построим по рекуррентным формулам

$$E_{np}^{min}(n) = \frac{\sigma_i^{max}(n-1)}{\varepsilon_i^{max}(n-1)} \quad (1.9)$$

$$\sigma_i^{max}(n-1) =$$

$$= E \varepsilon_i^{max}(n-1) \left[1 - \lambda + \frac{\lambda \varepsilon_s}{\varepsilon_i^{max}(n-1)} \right]$$



Фиг. 1.

где $\varepsilon_i^{max}(n-1)$ получается решением упругой задачи при $E_{np} \equiv E_{np}^{min}(n-1)$.

Смысл этого рекуррентного процесса можно наглядно представить графически (фиг. 1). На оси ε_i числами $0, 1, 2, \dots, \infty$ обозначены значения соответствующих приближений максимальной интенсивности деформаций.

$\varepsilon_i^{\max}(n)$. Причем, нулевое приближение $\varepsilon_i^{\max}(0)$ получается из упругого решения задачи, когда связь между σ_i и ε_i дается линией CD , параллельной линии $AB(E^{\min}(0) = E(1-\lambda))$. Имея нулевое приближение $\varepsilon_i^{\max}(0)$ по действительной диаграмме $\sigma_i \sim \varepsilon_i$ (ломаная CAB) определяется нулевое приближение максимального значения интенсивности напряжения $\sigma_i^{\max}(0)$ — отрезок OB_1 . Соединяя точку B_1 с началом координат C , находим первое приближение приведенного модуля $E^{\min}(1) = OB_1/CO$. Далее, решая упругую задачу по диаграмме CB_1 , определяем первое приближение максимального значения интенсивности деформаций $\varepsilon_i^{\max}(1)$. Оно изображено цифрой „1“ на оси ε_i . Первое приближение $\sigma_i^{\max}(1)$ получается путем пересечения с действительной диаграммой CAB линии $1B_2$, параллельной оси σ_i . Аналогично строятся и последующие приближения. Так как последовательность минимальных значений модуля $E^{\min}(n)$ монотонно растет и ограничена сверху значением действительного модуля Юнга материала E , то она сходится. Предельное значение $E^{\min}(\infty) = E^*$ характеризуется тем, что для него максимальные значения интенсивности напряжений $\sigma_i^{\max}(\infty) = \sigma_i^*$, подсчитанные по приведенной диаграмме CB_2 и по действительной диаграмме CAB , совпадают. На основе этого обстоятельства, значение E^* можно определить непосредственно, не связываясь с описанным выше процессом последовательных приближений. Пусть решена задача упругого деформирования конструкции. Далее определяется максимальная интенсивность деформаций как функция от неизвестного модуля $\varepsilon_i^{\max}(E^*)$. Приравняв значения интенсивности напряжений, подсчитанные для $\varepsilon_i^{\max}(E^*)$ по соотношениям упругости с модулем E^* и по соотношениям реального упруго-пластического тела (1.1), (1.2), получим

$$E^* = E \left[1 - \lambda + \frac{\lambda \varepsilon_i}{\varepsilon_i^{\max}(E^*)} \right] \quad (1.10)$$

Это и есть уравнение для определения E^* . Максимальное значение деформаций (перемещений) и напряжений упругой конструкции с однородным модулем E^* будет служить в качестве верхних оценок для действительных значений соответствующих величин реальной упруго-пластической конструкции.

Разумеется, что эти оценки намного лучше исходных (1.8). При однородном напряженно-деформированном состоянии, а также при отсутствии пластических свойств материала ($\lambda = 0$) эти оценки совпадают с точными значениями. По мере возрастания неоднородности напряженно-деформированного состояния и возрастания пластических свойств материала расхождение между оценками и точными значениями соответствующих величин увеличивается. Предлагаемые оценки могут быть успешно использованы особенно для конструкций типа гибких пластин и оболочек, неод-

нородность напряженно-деформированного состояния которых из-за мембранных усилий мала.

Важно заметить, что с ростом пластических деформаций материал приближается к несжимаемому и его коэффициент поперечной деформации стремится к половине. Предлагаемые оценки получены в предположении о неизменности коэффициента Пуассона. Это приводит к искусственному уменьшению жесткости конструкции, а следовательно, и к завышению деформаций. Оценки от этого становятся несколько грубыми.

2. В качестве иллюстрации предлагаемого способа нахождения верхних оценок рассмотрим задачу круглой гибкой пластинки, деформируемой под действием равномерно распределенной поперечной нагрузки. Для простоты будем пользоваться аппроксимирующими выражениями точных формул максимальных значений прогибов и напряжений упругой пластинки [2]

$$x + Ax^3 = Bq^*, \quad \varepsilon_i^* = x(\beta + \alpha x) \quad (2.1)$$

где α , β , A , B — табличные постоянные,

$$x = \frac{w_0}{h}, \quad q^* = \frac{qa^4}{Eh^3}, \quad \varepsilon_i^* = \frac{\sigma_i^{\max} a^2}{Eh^2} \quad (2.2)$$

w_0 — прогиб в центре, h — толщина, a — радиус, E — модуль Юнга материала, q — интенсивность поверхностной нагрузки пластинки.

Имея в виду (1.10) и (2.1), получим

$$m = \frac{E}{E^*} = \begin{cases} 1, & x \leq x_s \\ \frac{x(\beta + \alpha x)}{\lambda \mu + (1 - \lambda)x(\beta + \alpha x)}, & x > x_s \end{cases} \quad (2.3)$$

$$\sigma_i^{\max} = \begin{cases} x(\beta + \alpha x), & x \leq x_s \\ \frac{\lambda \mu}{1 - m(1 - \lambda)}, & x > x_s \end{cases}$$

$$x_s = \frac{-\beta + \sqrt{\beta^2 + 4\lambda\mu}}{2\alpha}, \quad q = \frac{x + Ax^3}{Bm}, \quad \mu = \frac{\varepsilon_s a^2}{h^2}$$

где x_s — предел упругих прогибов пластинки в центре. Соотношения (2.3) определяют зависимости между верхними оценками максимального прогиба x , максимальной интенсивности напряжений пластинки σ_i^{\max} от нагрузки q .

В случае жесткого защемления контура максимальное значение интенсивности напряжений σ_i^{\max} получается на крайних верхних волокнах контурных сечений пластинки. Тогда коэффициенты α и β определяются формулами

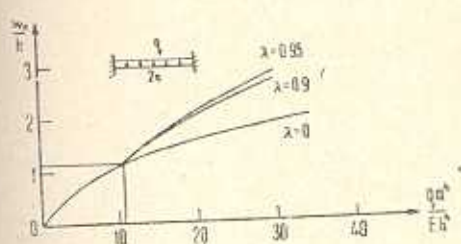
$$\alpha = \sqrt{\alpha_r^2 - \alpha_r \alpha_t + \alpha_t^2}, \quad \beta = \sqrt{\beta_r^2 - \beta_r \beta_t + \beta_t^2} \quad (2.4)$$

где α_r , α_t , β_r , β_t относятся к контуру пластинки. На основе [2] (стр. 456,

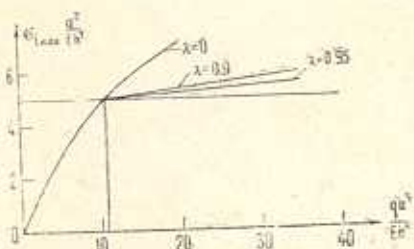
табл. 82) с учетом (2.4) при значении коэффициента Пуассона $\nu = 0.3$ находим

$$\alpha = 0.423, \quad \beta = 3.911, \quad A = 0.471, \quad B = 0.171 \quad (2.5)$$

На фиг. 2 и 3 приведены графики зависимости верхних оценок от нагрузки для рассмотренного случая при трех значениях λ . Качественно аналогичными получаются эти графики и для остальных способов опирания пластинки.



Фиг. 2.



Фиг. 3.

3. Как отмечалось выше, предлагаемые оценки становятся грубыми при поперечном изгибе, особенно когда материал пластинки стремится к идеально пластическому. Ниже, путем перехода к обобщенным величинам, эти оценки существенно улучшаются при отсутствии мембранных сил. Используя соотношения между изгибающими моментами и кривизнами срединной плоскости в рамках теории поперечного изгиба пластин можно записать

$$m_i = D(1 - \Omega) \chi_i, \quad D = \frac{Eh^3}{12(1 - \nu^2)} \quad (3.1)$$

где D — цилиндрическая жесткость, m_i и χ_i — аналоги интенсивностей напряжений и деформаций:

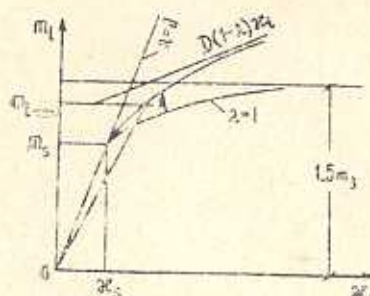
$$m_i = \sqrt{M_1^2 - M_1 M_2 + M_2^2 + 3M_{12}^2}, \quad \chi_i = \frac{\sqrt{3}}{2} \sqrt{\chi_1^2 + \chi_1 \chi_2 + \chi_2^2 + \chi_{12}^2} \quad (3.2)$$

$$\Omega = \begin{cases} 0, & \chi_i \leq \chi_s = \frac{3\varepsilon_s}{2h} \\ \lambda \left(1 - \frac{9\varepsilon_s}{4h\chi_i} + \frac{27\varepsilon_s^3}{16h^3\chi_i^3} \right), & \chi_i > \chi_s \end{cases} \quad (3.3)$$

Здесь через χ_s обозначено значение интенсивности кривизн пластинки, после достижения которого появляются остаточные деформации. На фиг. 4 представлен график зависимости (3.1) для линейно упрочняющегося материала. В пределах упругости ($\chi_i \leq \chi_s$) этот график является прямой линией с угловым коэффициентом D . Моменту появления пластических деформаций соответствуют значения m_s и χ_s , которые служат аналогами пределов упругости σ_s и ε_s . С развитием областей пластических деформаций график $m_i \sim \chi_i$ отклоняется от прямой линии, непрерывно на-

клоняясь в сторону оси χ_i . График имеет асимптоту с угловым коэффициентом $(1-\lambda)D$. При идеально-пластическом материале $\lambda = 1$ и асимптота становится параллельной оси χ_i . Предельное значение интенсивности моментов m_{np} , которое характеризует несущую способность сечения, оказывается в полтора раза больше предела упругости m_s .

Поступая так, как в пункте 1, для нахождения нижней оценки приведенной жесткости упруго-пластически деформированной пластинки D^* получим следующее уравнение:



Фиг. 4.

$$D^* = D \left\{ 1 - \lambda \left[1 - \frac{9\varepsilon_s^3}{4h^3 \chi_i^*(D^*)} + \frac{27\varepsilon_s^3}{16h^3 (\chi_i^*(D^*))^3} \right] \right\} \quad (3.4)$$

где $\chi_i^*(D^*)$ — наибольшее значение интенсивности кривизн упругой пластинки при данных нагрузках и граничных условиях, определенное как функция от неизвестной

жесткости D^* . Максимальные значения прогиба и напряжений упругой пластинки с однородной жесткостью D^* будут служить в качестве верхних оценок этих величин. Они не зависят от неоднородности напряженно-деформированного состояния по толщине и могут быть полезными в случае поперечного изгиба пластин.

Так как в теории поперечного изгиба однородных упругих пластин как изгибающие моменты, так и их интенсивность m_l не зависят от жесткости пластинки, то нижнюю оценку минимальной жесткости D^* можно определить и следующим образом. Из упругого решения задачи определяется максимальное значение интенсивности моментов m_l^{max} , откладывается это значение вдоль оси m_l и проводится линия, параллельная оси χ_i до пересечения с действительной диаграммой $m_l \sim \chi_i$ упруго-пластической пластинки в точке A (фиг. 4). Угловым коэффициентом линии OA будет равняться искомому значению нижней оценки минимальной жесткости D^* .

Тот факт, что для однородных упругих пластин интенсивность изгибающих моментов прямо пропорциональна параметру нагрузки q , показывает, что несущая способность произвольной идеально пластической пластинки ограничена снизу единым неравенством

$$q_{np} > \frac{3}{2} q_s \quad (3.5)$$

где q_s — то значение параметра нагрузки, при котором в какой-то точке (или точках) пластинки впервые достигается предел упругости материала. Например, в случае круглой защемленной по контуру пластинки, нагруженной равномерно распределенной нагрузкой, $q_{np} = 1.828 q_s$ [3] и нижняя оценка несущей способности (3.5) отличается от точной не более 18%.⁰

Рассмотрим задачу определения верхней оценки для максимального прогиба шарнирно опертой по контуру круглой пластинки, изгибаемой под действием равномерно распределенной нагрузки. В случае значения параметра $\lambda = 0.95$ и несжимаемости материала уравнение (3.4) принимает вид

$$\frac{D^*}{D} = \begin{cases} 1, \bar{q} = \frac{qha^2}{2\varepsilon_s D} \leq \bar{q}_* = 3.429 \\ 0.05 + 4.886 \frac{1}{q} - 19.144 \frac{1}{q^3}, \bar{q} \geq \bar{q}_* \end{cases} \quad (3.6)$$

В нижеприведенной таблице представлены результаты некоторых расчетов, выполненных с помощью (3.6). В последней строке приведены отношения верхних оценок w^{oa} максимальных прогибов упруго-пластической пластинки к максимальным прогибам упругой пластинки w^e . Из точного решения задачи упруго-пластического изгиба, когда в центре пластинки пластическая зона деформаций достигает половины толщины, имеем ([1], стр. 222).

Таблица 1

\bar{q}	3.429	4	5	6	7	8
D^*/D	1	0.972	0.874	0.776	0.692	0.623
$\frac{w^{oa}}{w^e} = \frac{D}{D^*}$	1	1.029	1.144	1.289	1.445	1.604

$$\bar{q} = 5, \quad \frac{w^{max}}{w^e} = \frac{5.322}{0.286} = 1.126 \quad (3.7)$$

В данном случае верхняя оценка максимального прогиба $\frac{w^{oa}}{w^e} = 1.144$ отличается от точного значения (3.7) менее 1.6%.

Институт механики
АН Армянской ССР

Поступила 7 I 1980

Թ. Մ. ԿՐԱՎՈՍՅԱՆ

ԱՌԱՋԳԱ.-ՊԼԱՍՏԻԿԱԿԱՆ ԿՈՆՍՏՐՈՒԿՑԻԱՆԵՐԻ ԸՆԿՎԱՄՔՆԵՐԻ
ԵՎ ԼԱՐՈՒՄՆԵՐԻ ՎԵՐԻՆ ԳՆԱՀԱՏԱԿԱՆՆԵՐԻ ՄԱՍԻՆ

Ա մ փ ն փ ն ի մ

Առաջարկվում է առաձգա-սլլաստիկական կոնստրուկցիաների մաքսիմալ ճկվածքների և լարումների վերին գնահատականների որոշման հղանակ, որը հենված է համազատագրման եզրային խնդիրների առաձգական լուծումների

օգտագործման վրա: Եղանակը ցուցադրվում է ճկուն սալերի օրինակի վրա՝ նյութի գծային ամրապնդման դեպքում:

Անցնելով ընդհանրացված մեծությունների, որը թույլ է տալիս ազատվելու ըստ հաստության լարվածա-դեֆորմացիոն վիճակի անհամասեռության ազդեցությունից, ստացվում են ավելի ճշգրիտ վերին գնահատականներ լայնական ծաման դեպքում: Այդ գնահատականների հիման վրա կամայական իդիալական առաձգական սալերի համար ստացվում է կրող ունակության միասնական ստորին գնահատական:

Քերվում են ճշգրիտ լուծումների հետ համեմատության օրինակներ:

ON THE UPPER VALUES OF FLEXURE AND STRESS IN ELASTIC-PLASTIC STRUCTURES

R. M. KIRAKOSIAN

S u m m a r y

A method to define the upper values of maximum flexure and stress in elastic-plastic structures, based on elastic solutions for corresponding boundary problems, is proposed. A flexible plate with linear hardening of the material is used to illustrate the method. A transition to generalized values, permitting to eliminate the heterogeneity of a stress-strain state across the thickness, provides more accurate upper values under cross-bending. On the basis of these values a common lower value for the carrying capacity of arbitrary perfectly-plastic plates is obtained.

Some examples of comparison with accurate solutions are presented.

ЛИТЕРАТУРА

1. Ильюшин А. А. Пластичность, М.—Л., Гостехиздат, 1948.
2. Тимошенко С. П., Войновский-Кригер С. Пластинки и оболочки. М., Физматгиз, 1963.
3. Ходж Ф. Пластический анализ конструкций, 1965.